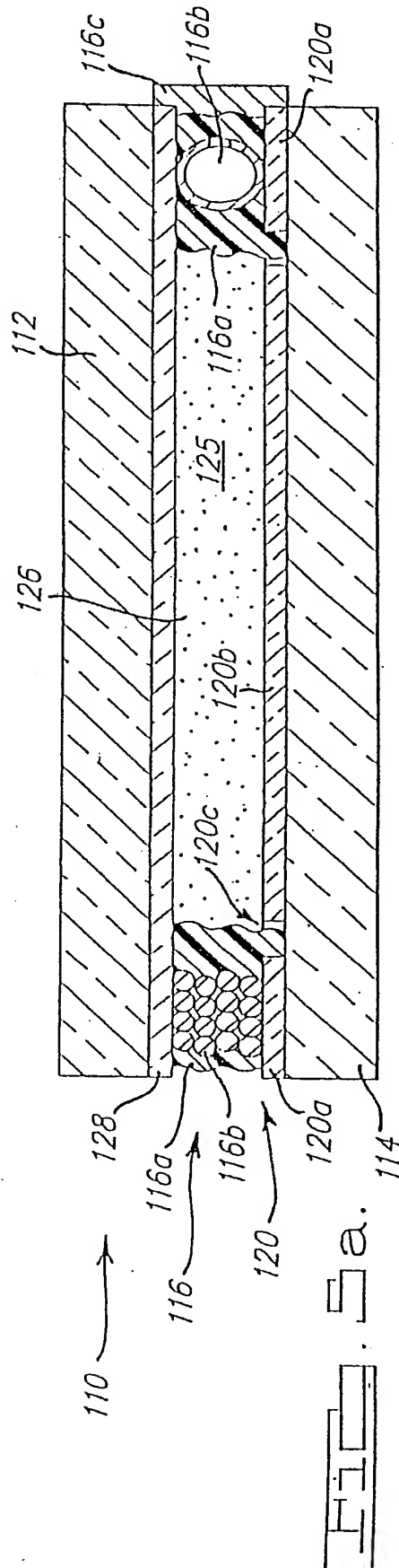
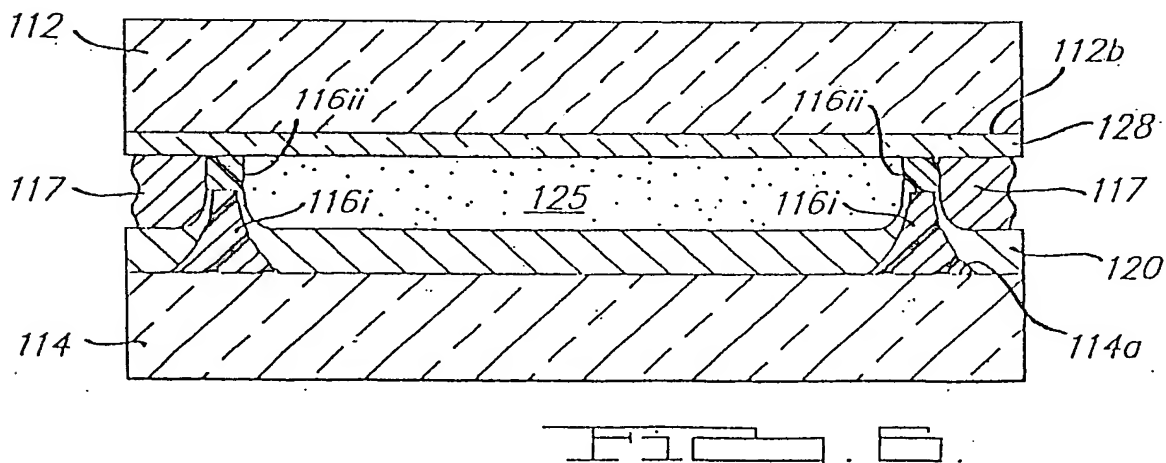
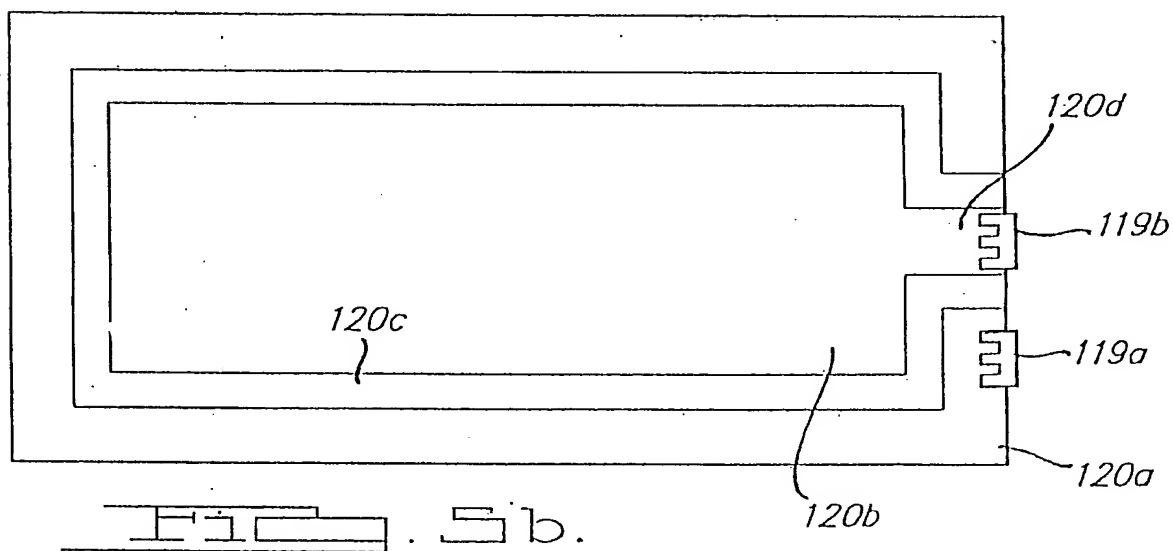
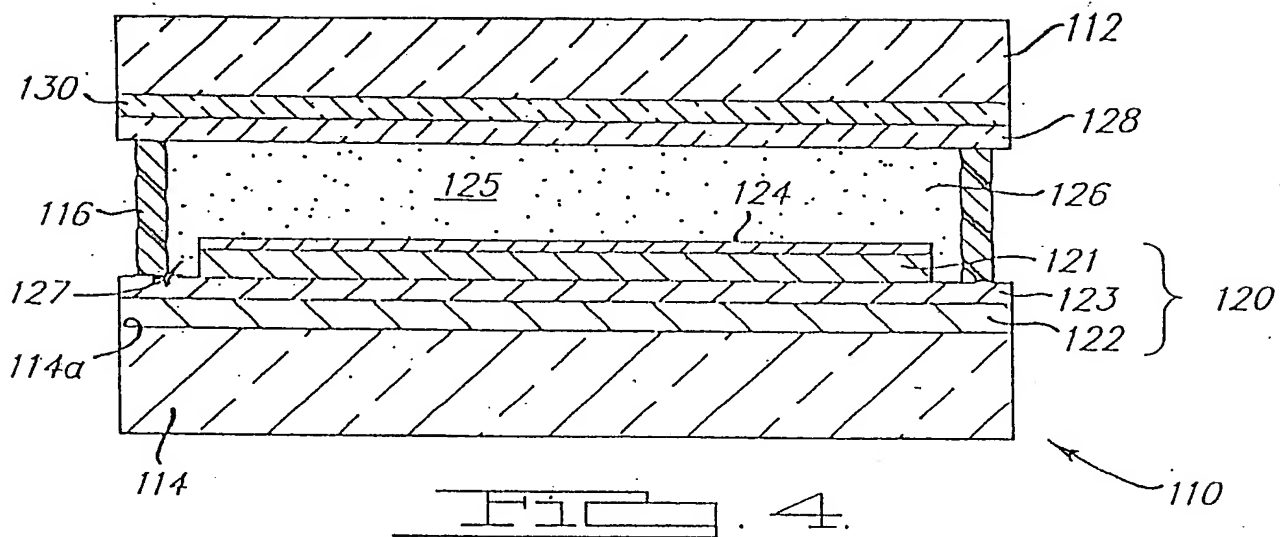


Fig. 2





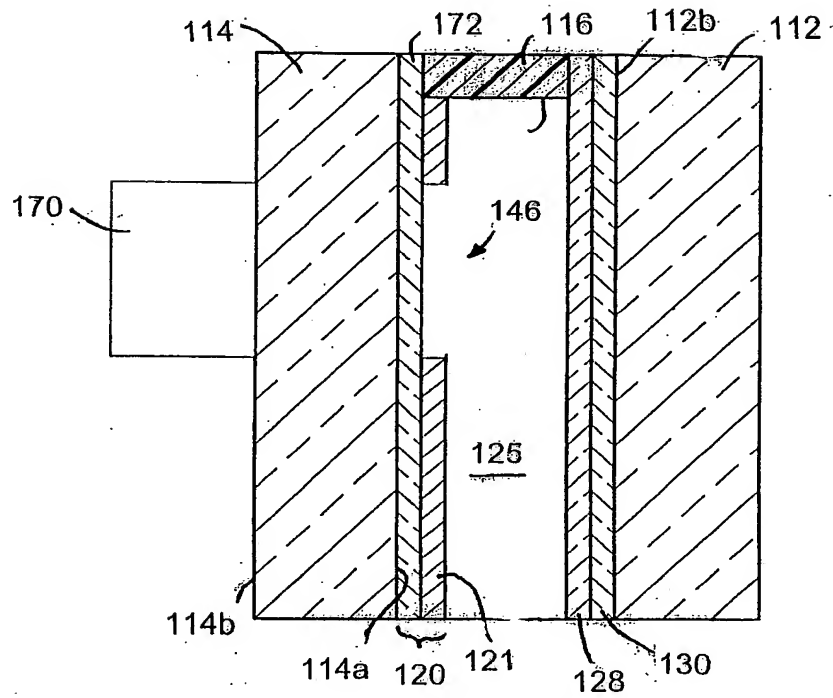


Fig. 7A

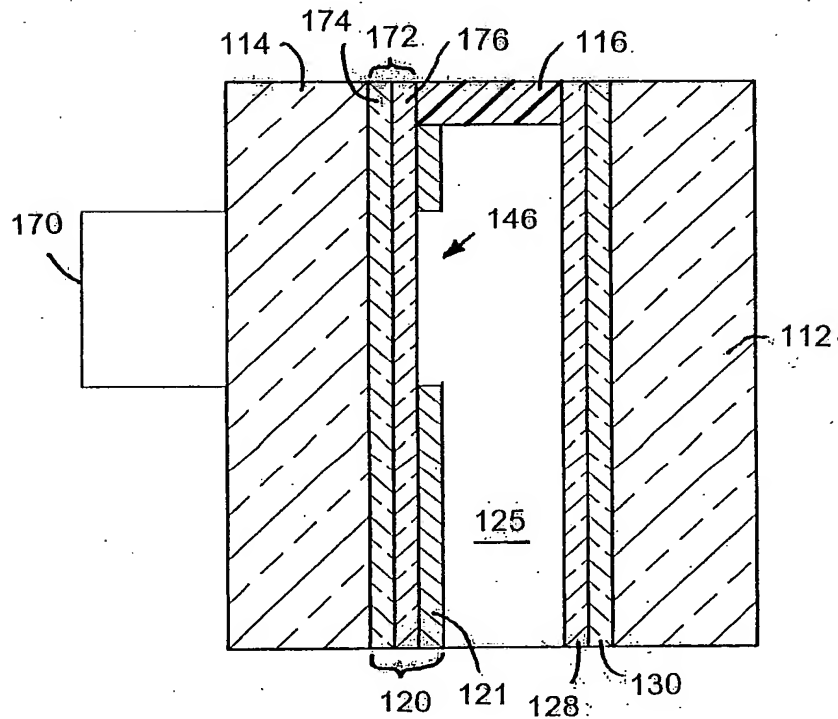


Fig. 7B

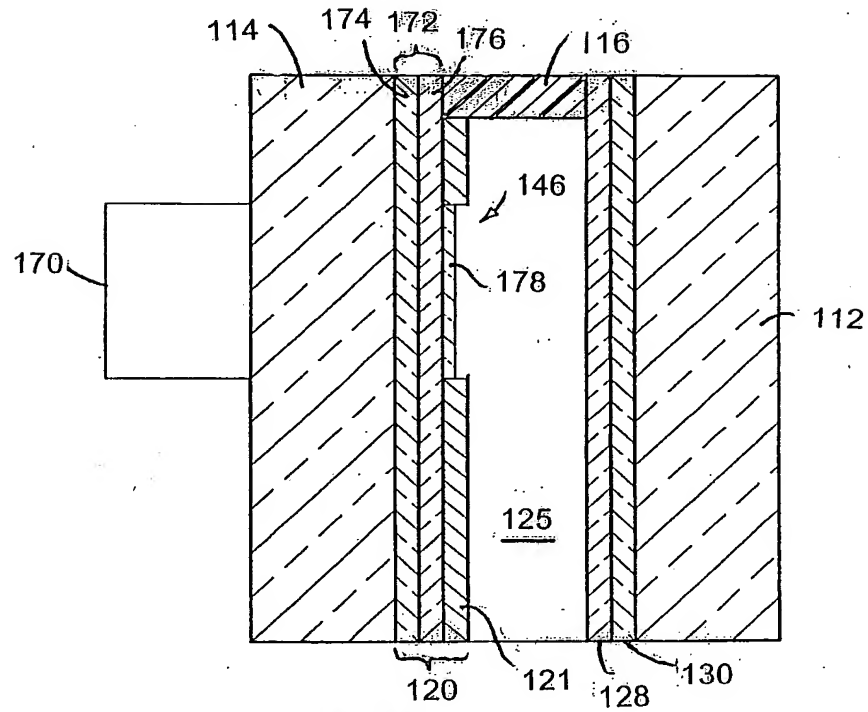


Fig. 7C

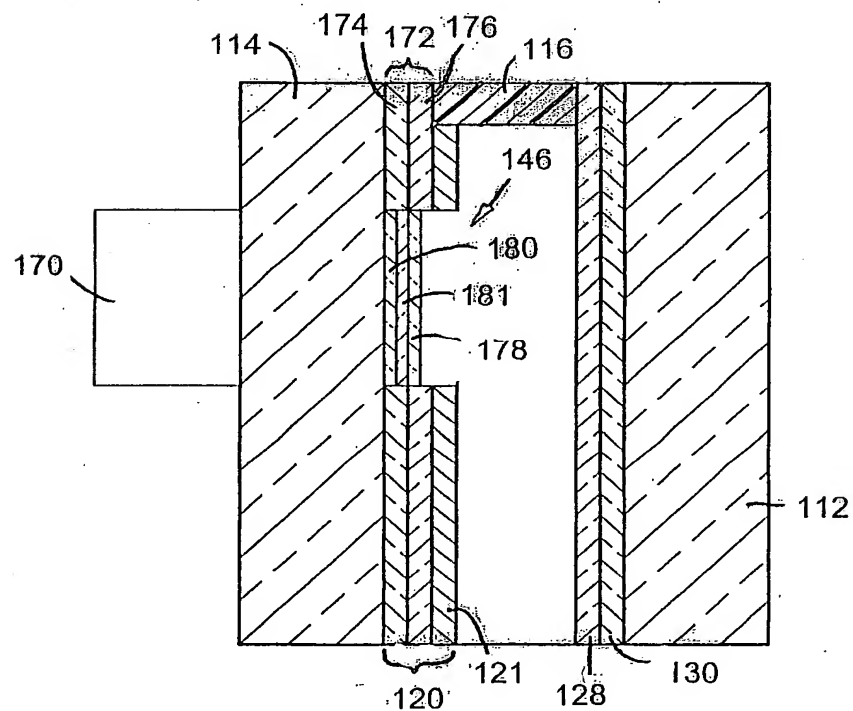


Fig. 7D

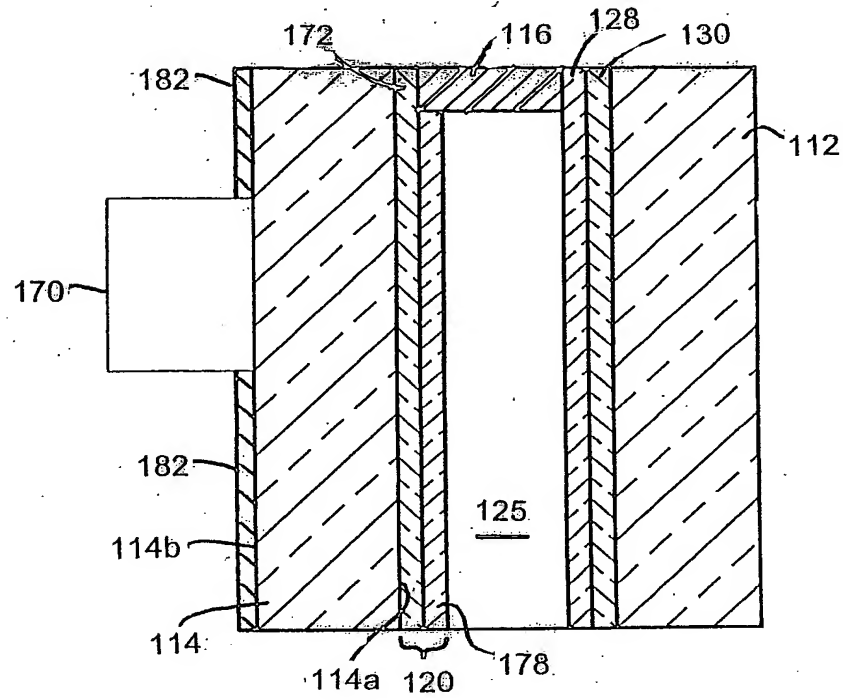


Fig. 7E

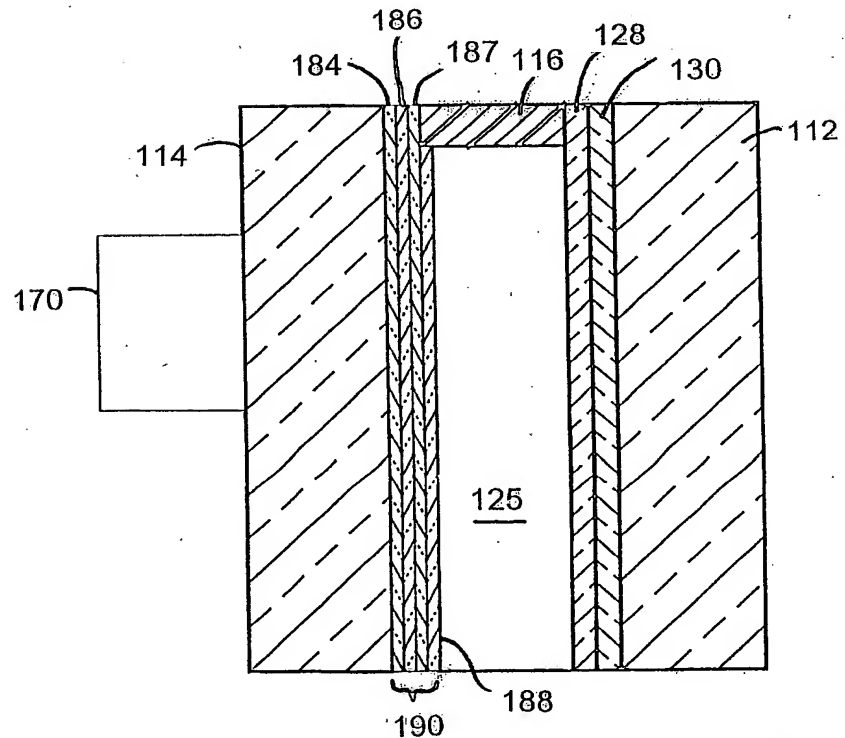


Fig. 7F

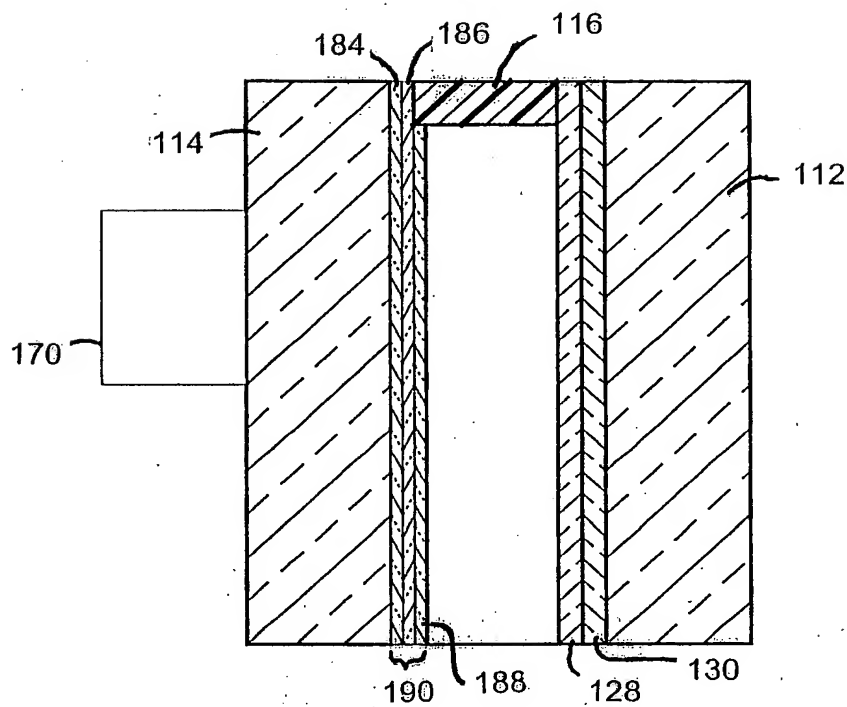


Fig. 7G



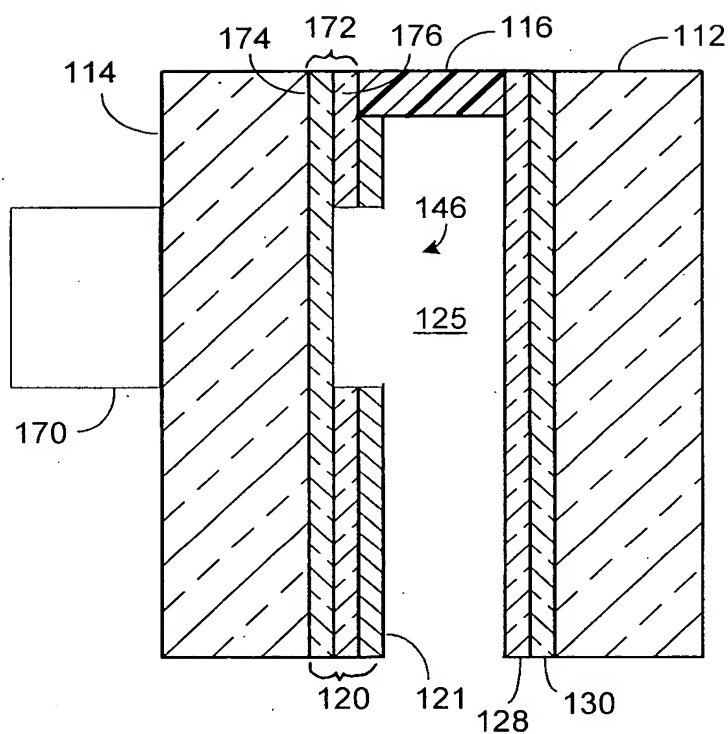


FIG. 7H

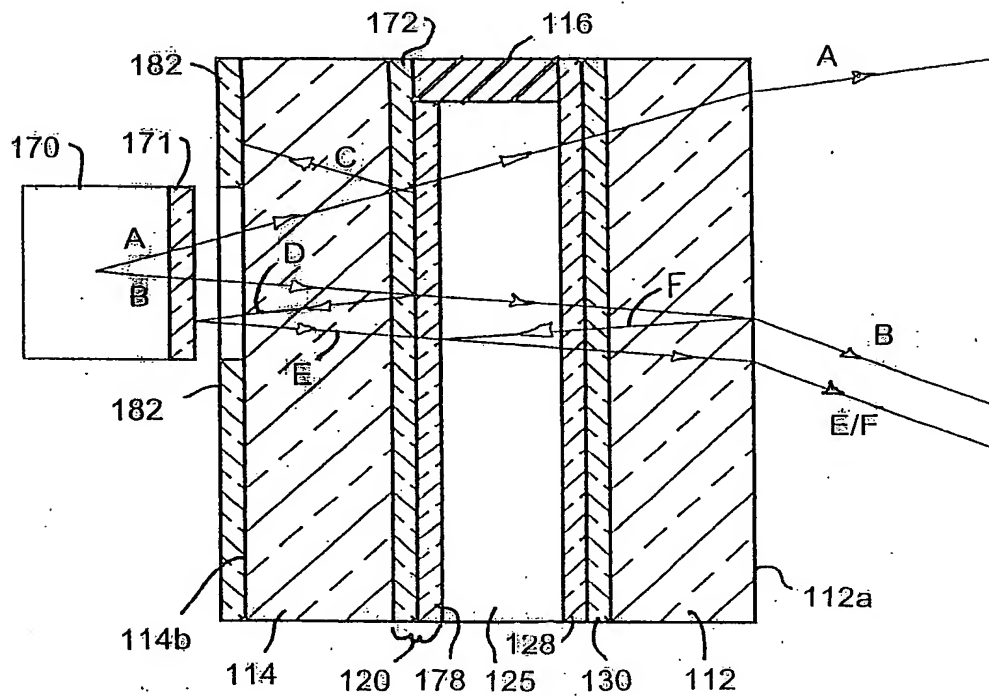


Fig. 8

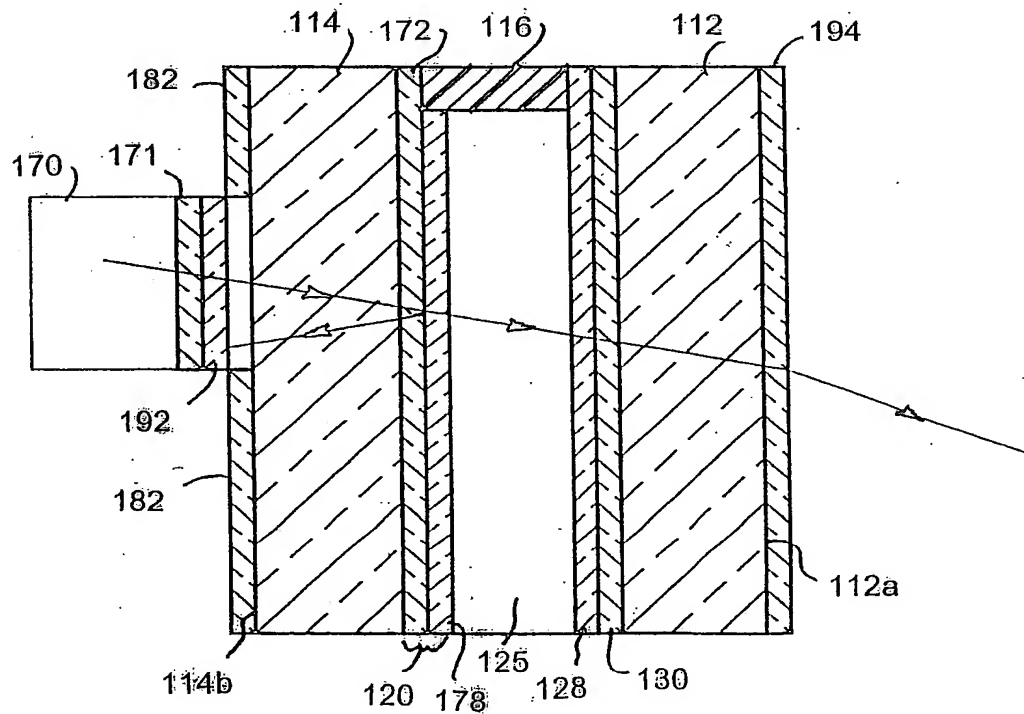


Fig. 9A

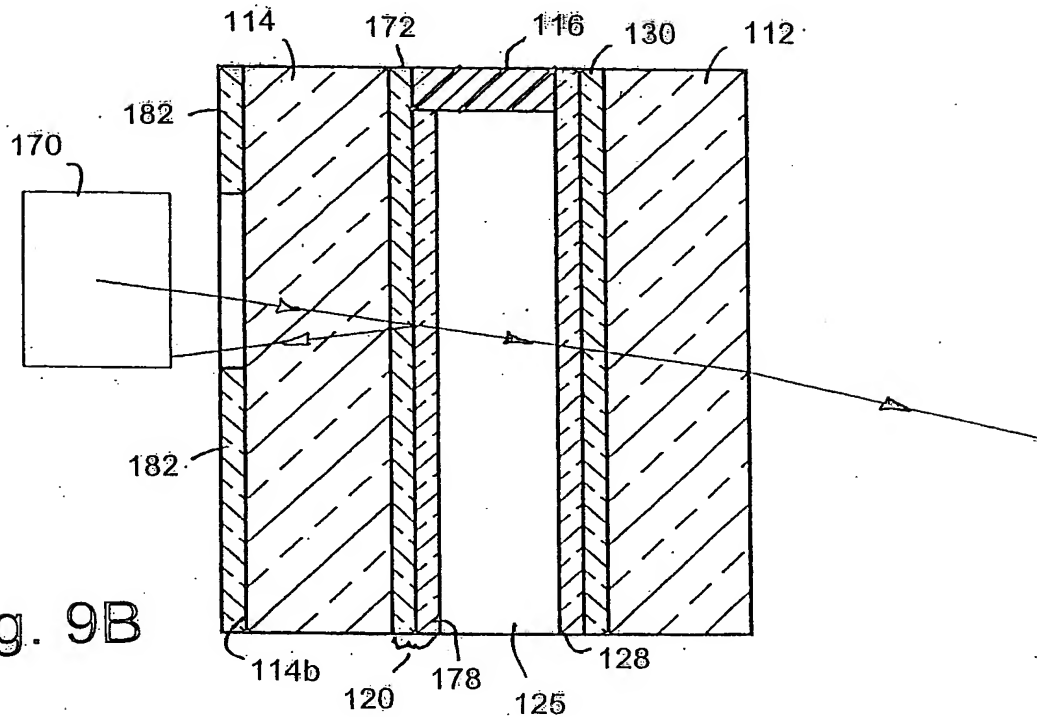


Fig. 9B

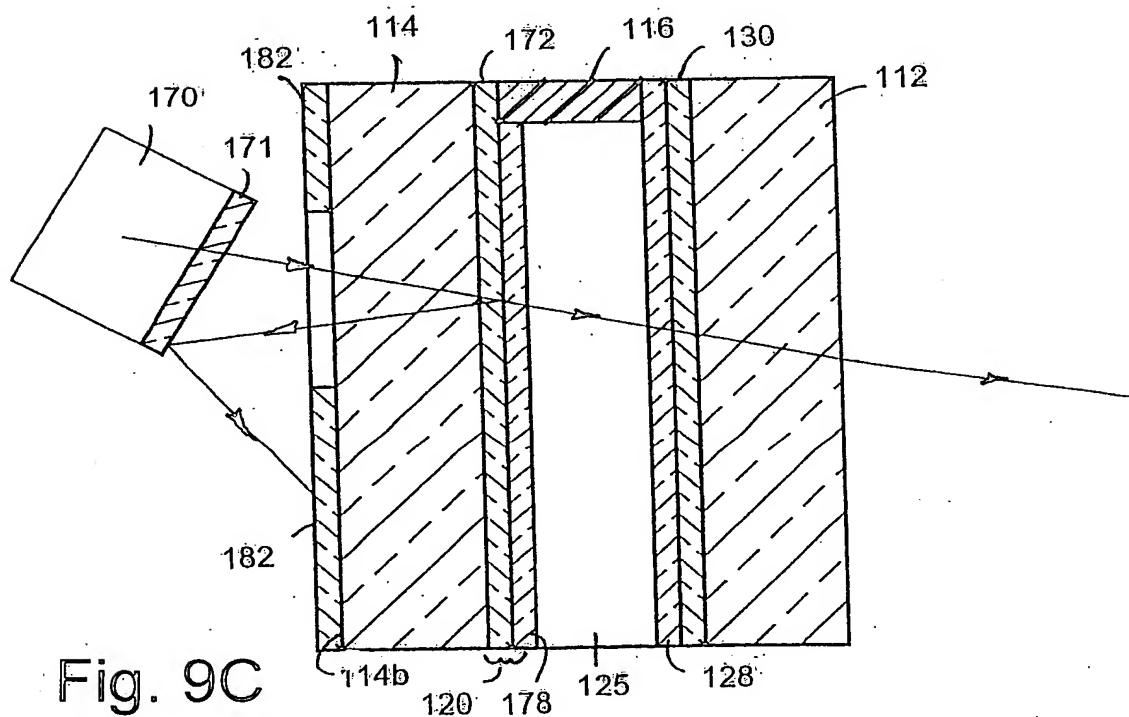
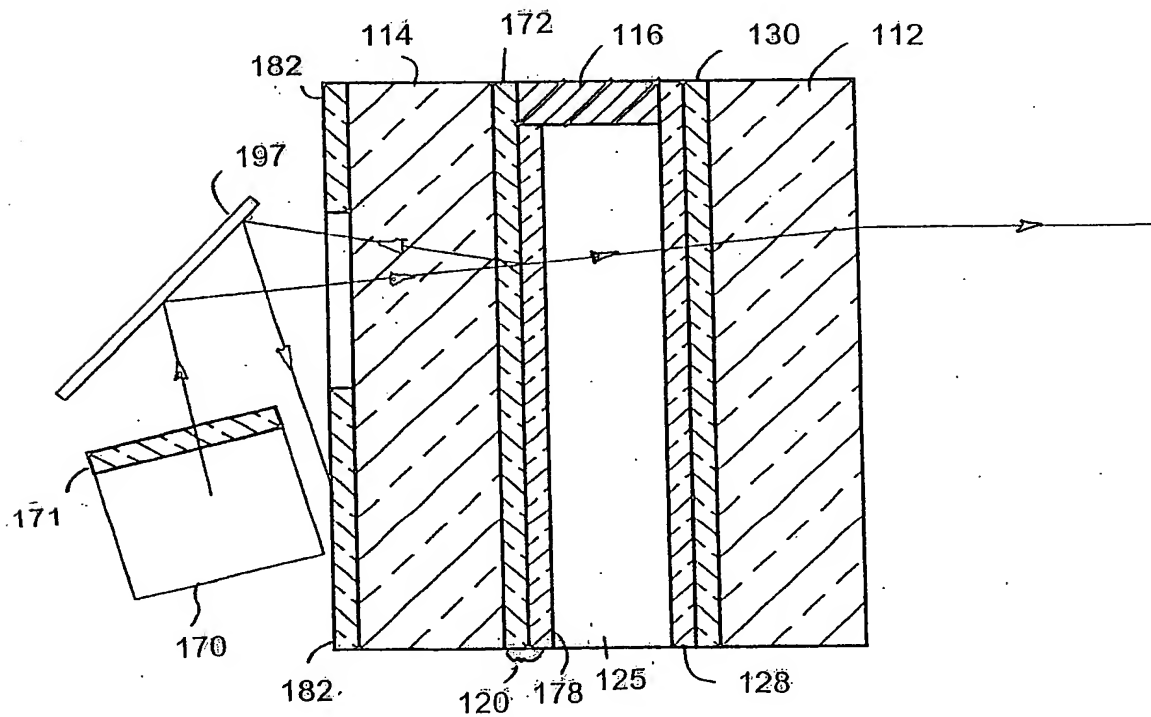
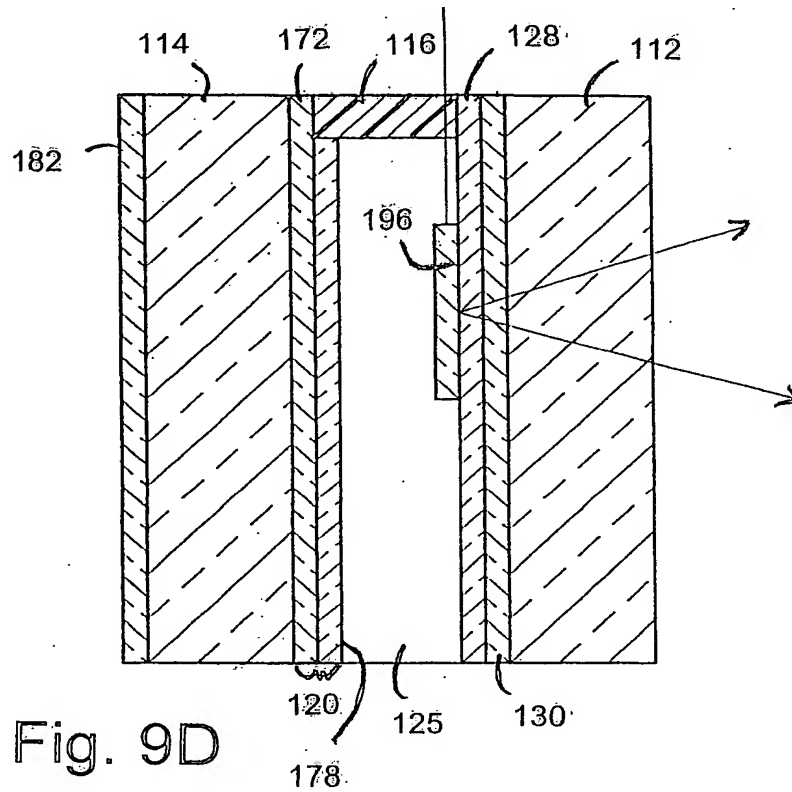


Fig. 9C



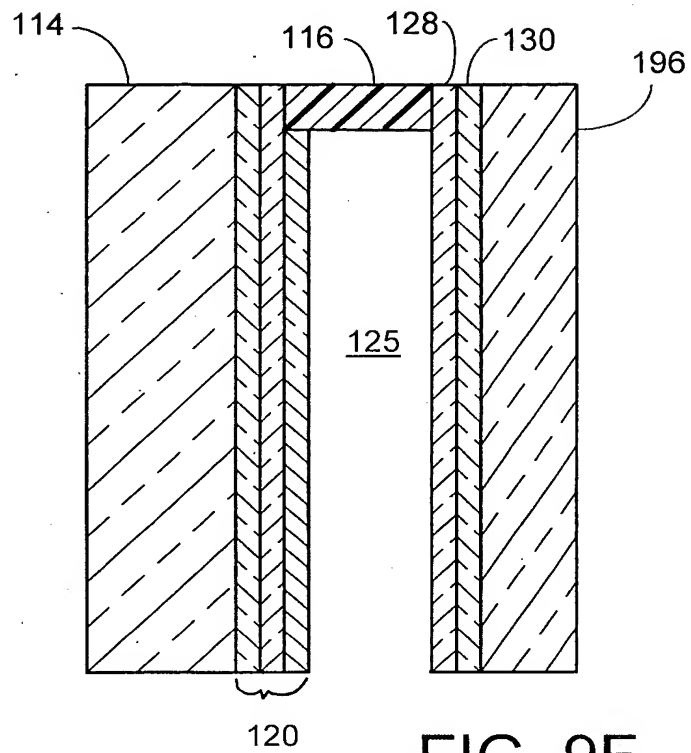


FIG. 9F

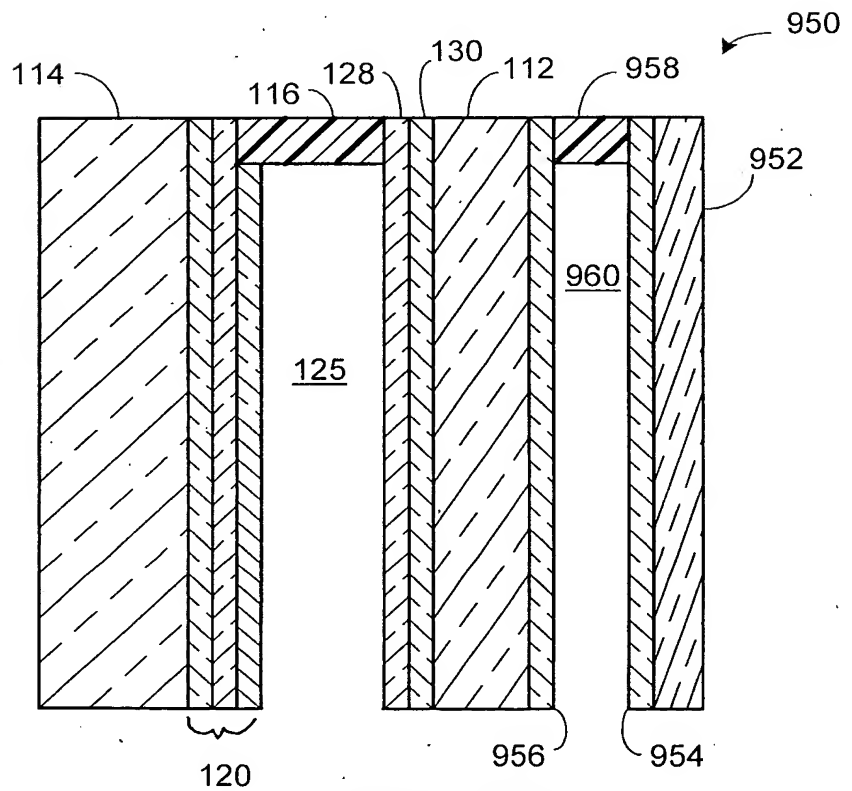


FIG. 9G



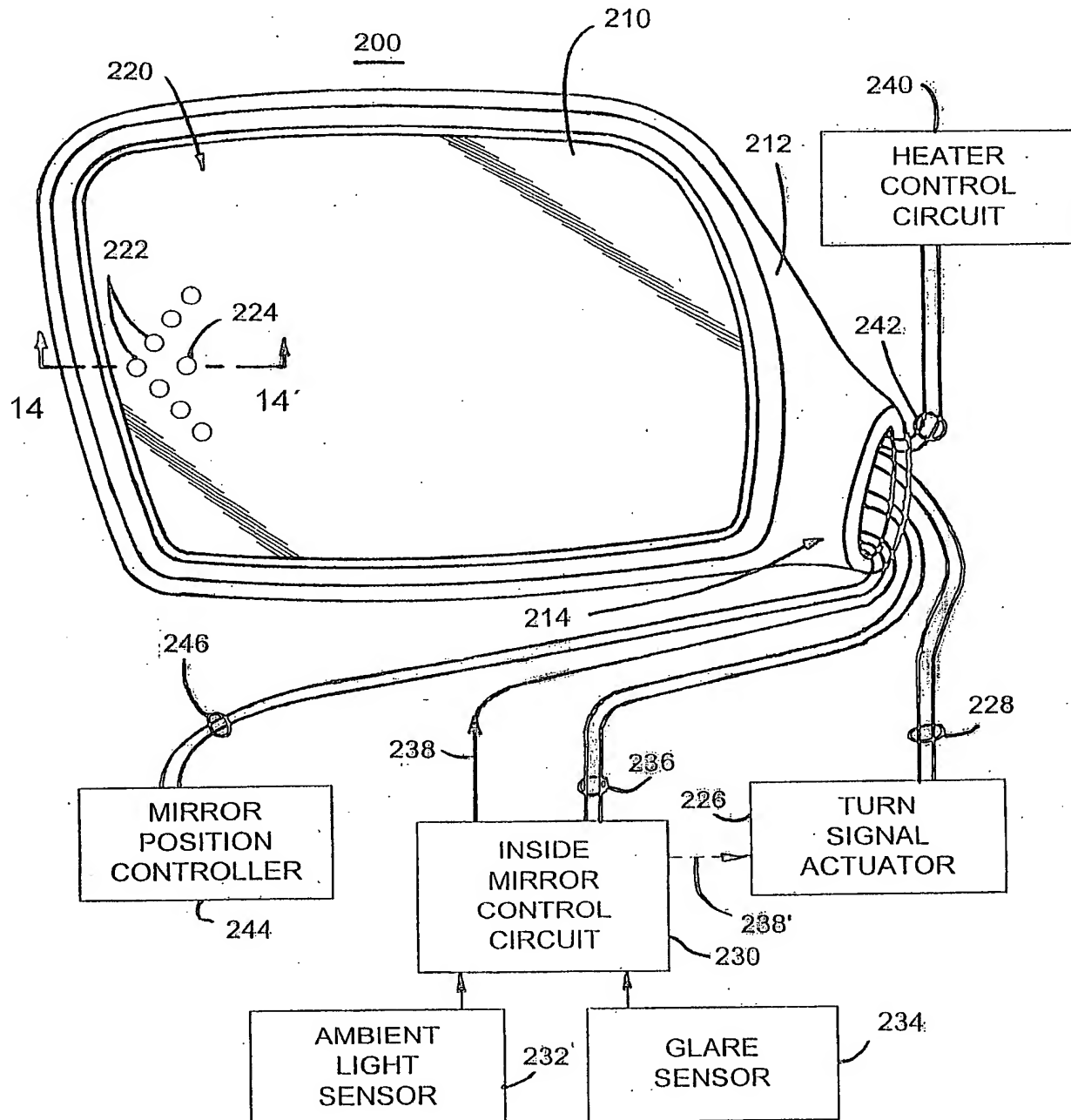


Fig. 12

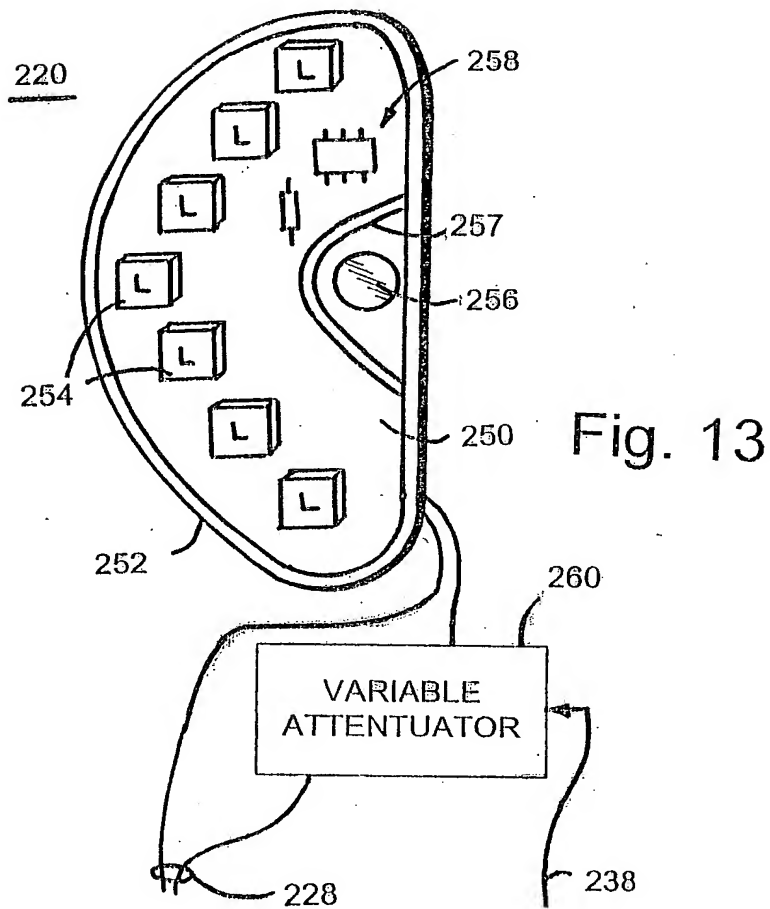
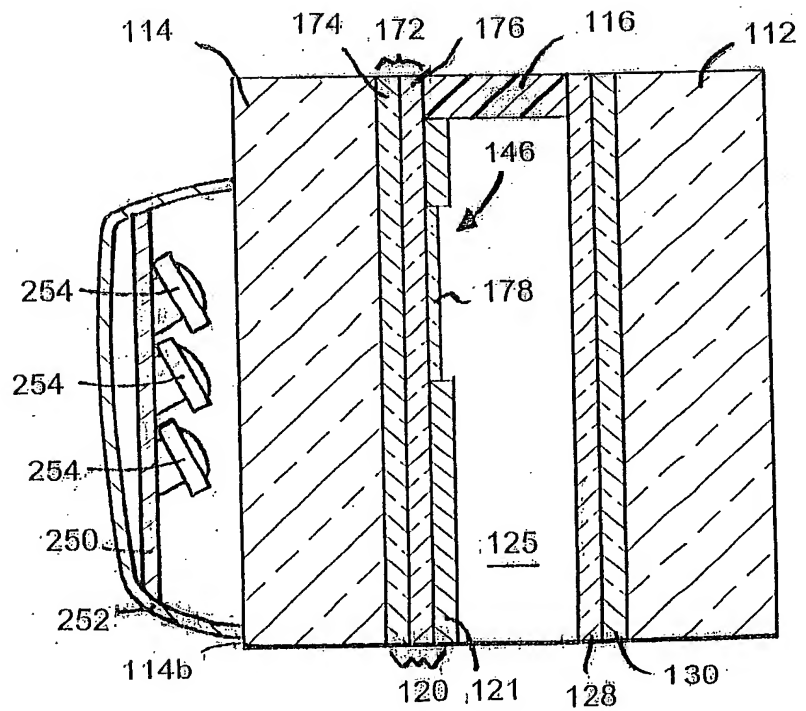
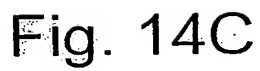
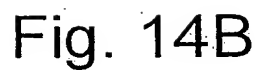


Fig. 14A







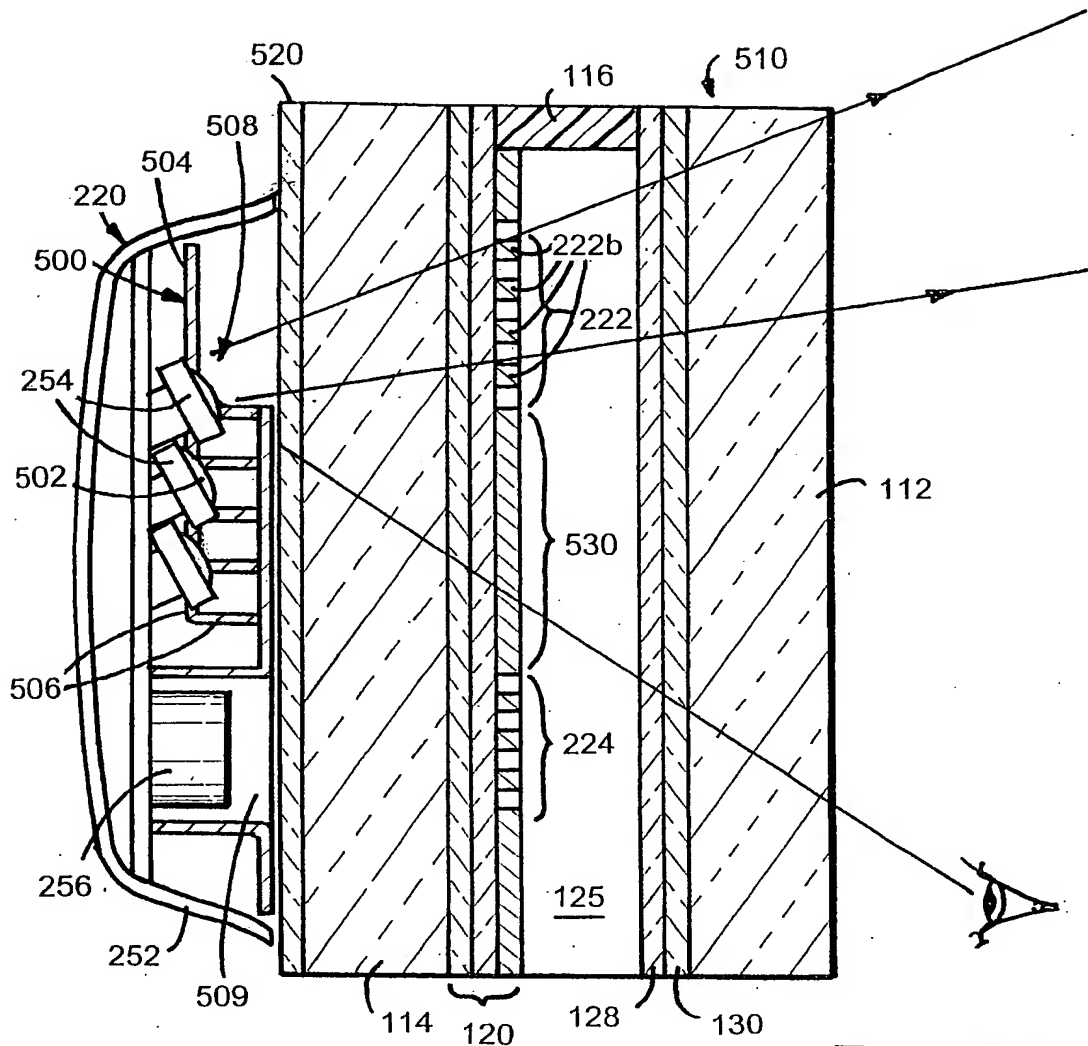


Fig. 14D

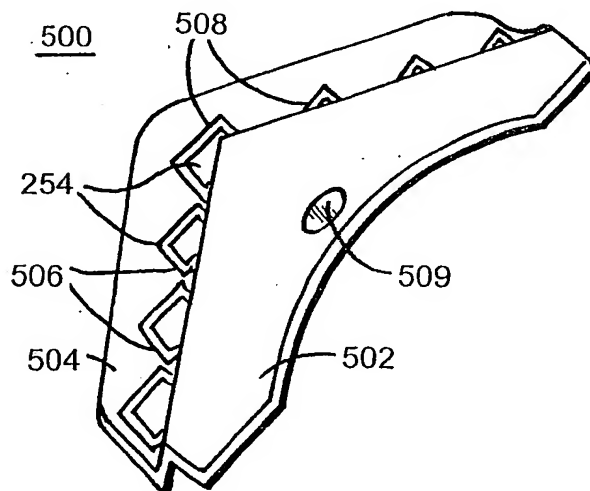


Fig. 19

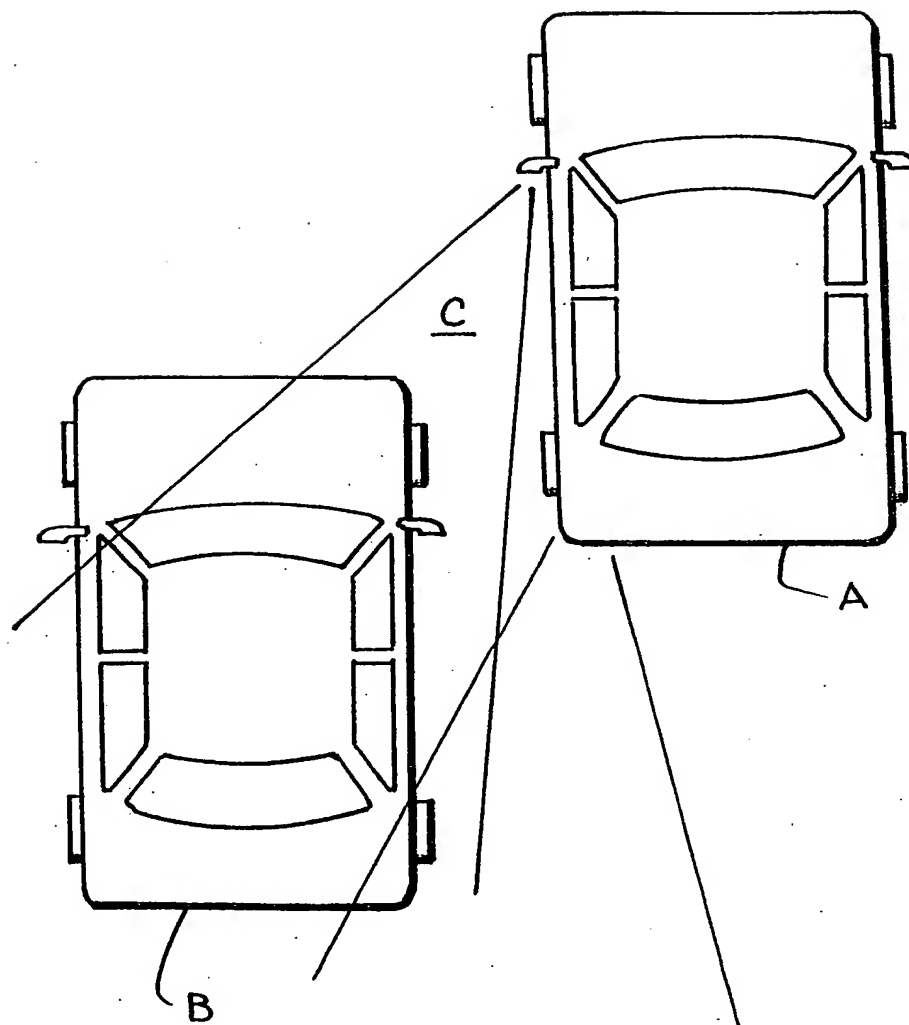


Fig. 15

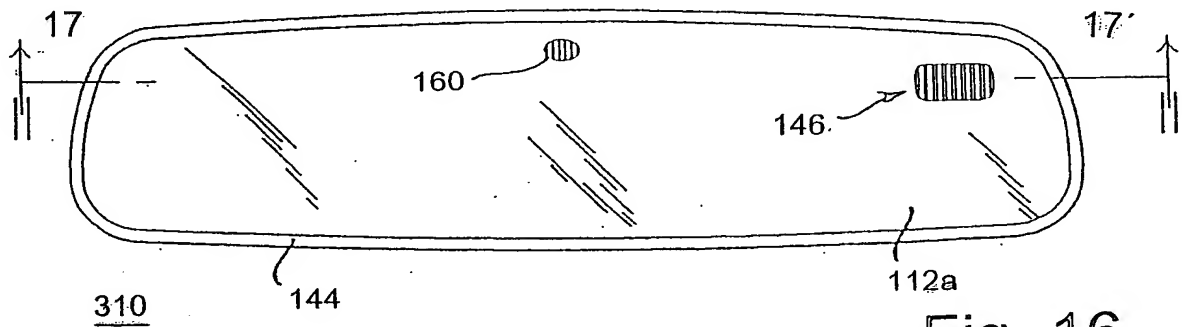


Fig. 16

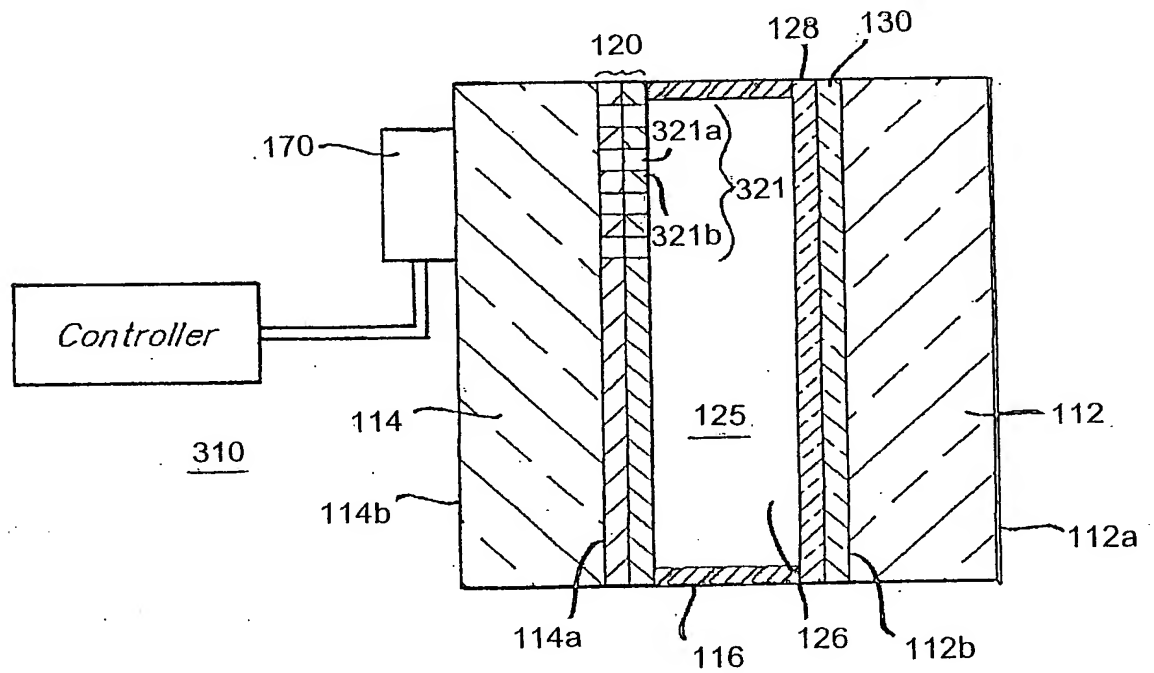


Fig. 17

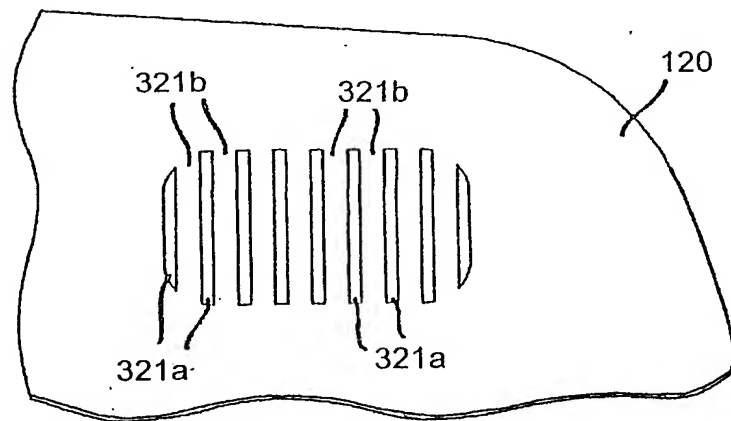


Fig. 18

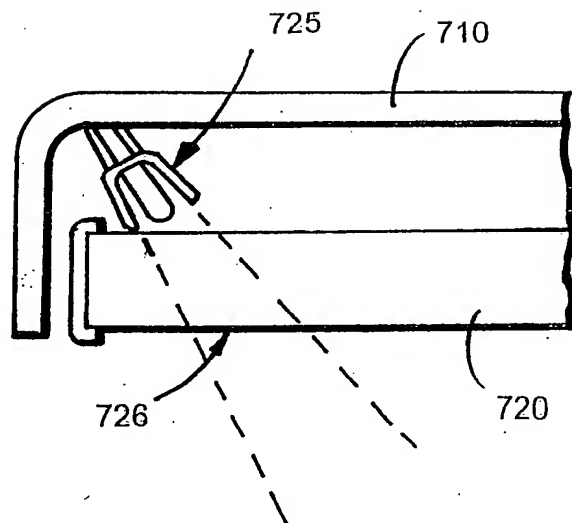
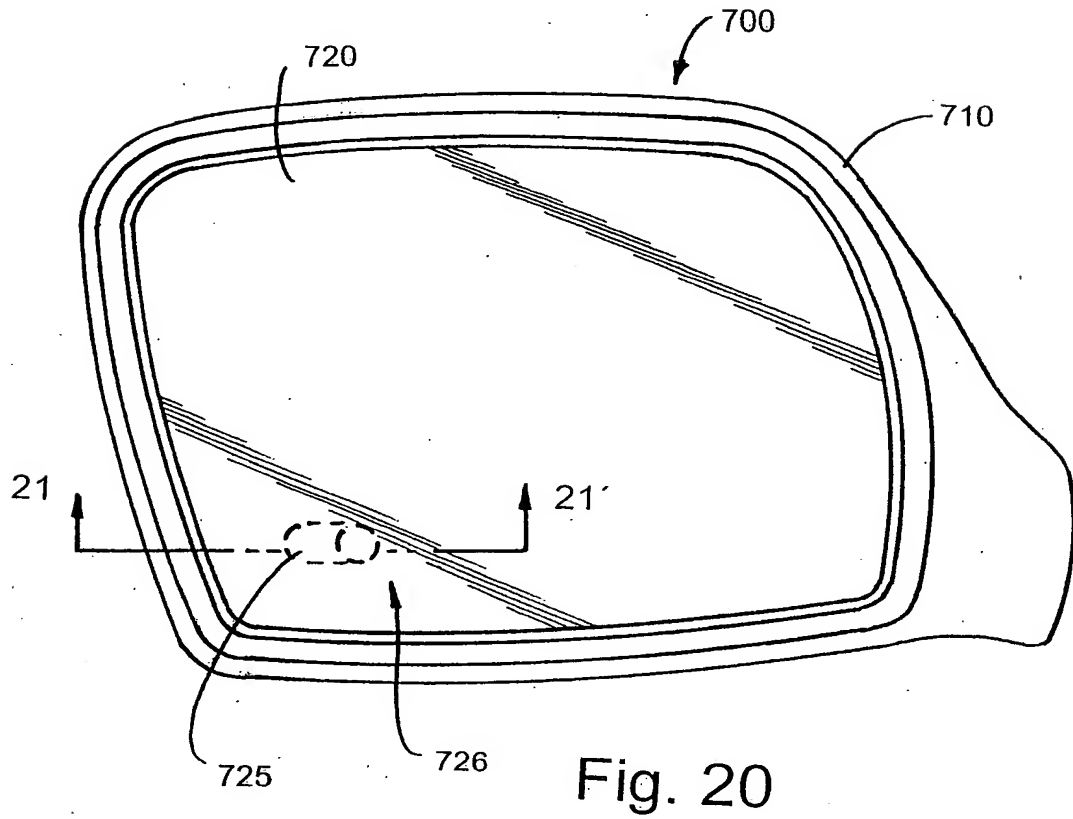
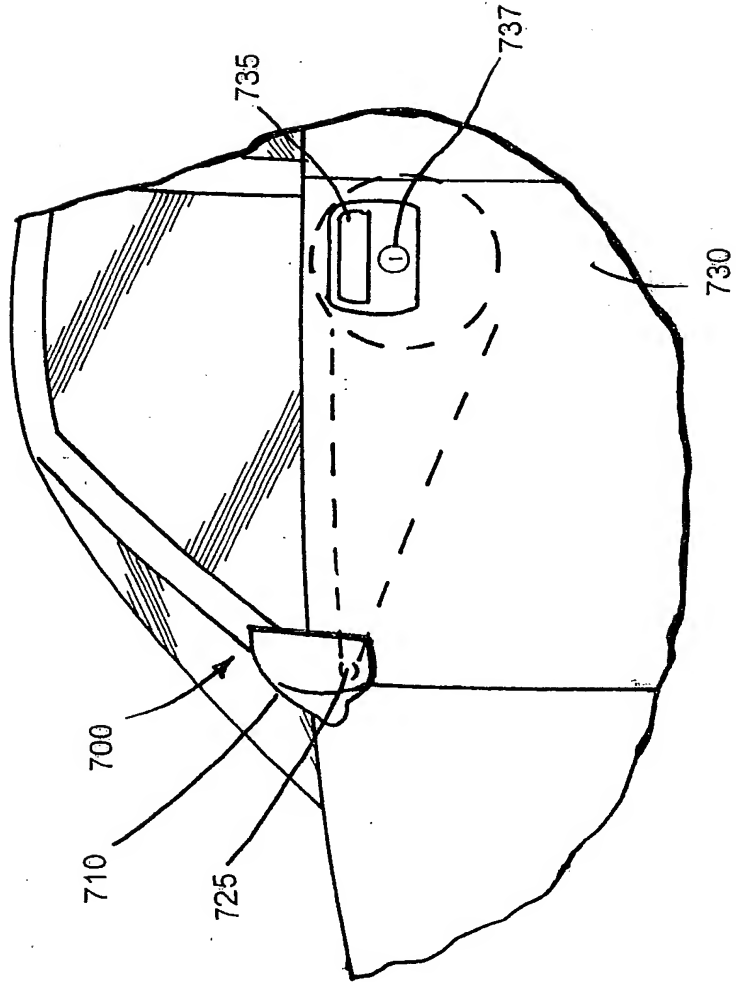


Fig. 22



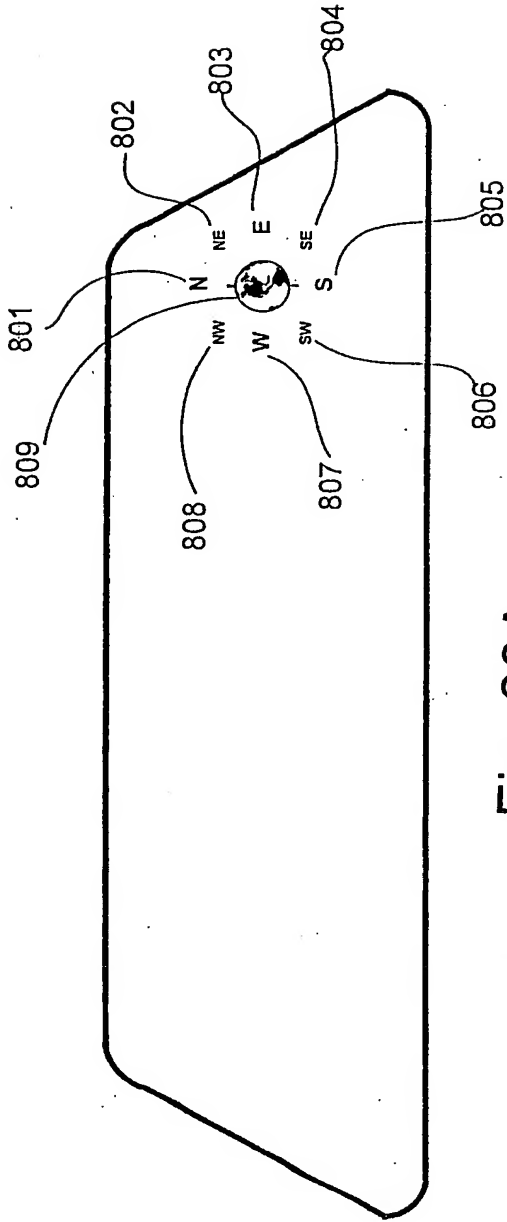


Fig. 23A

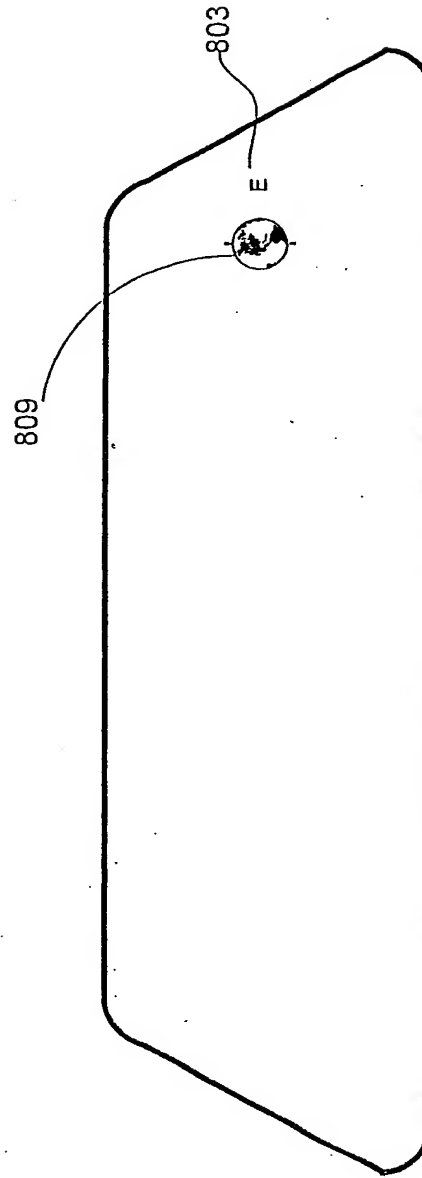


Fig. 23B

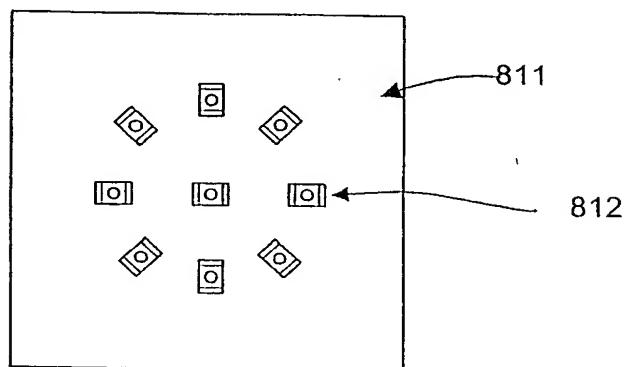


Fig. 24

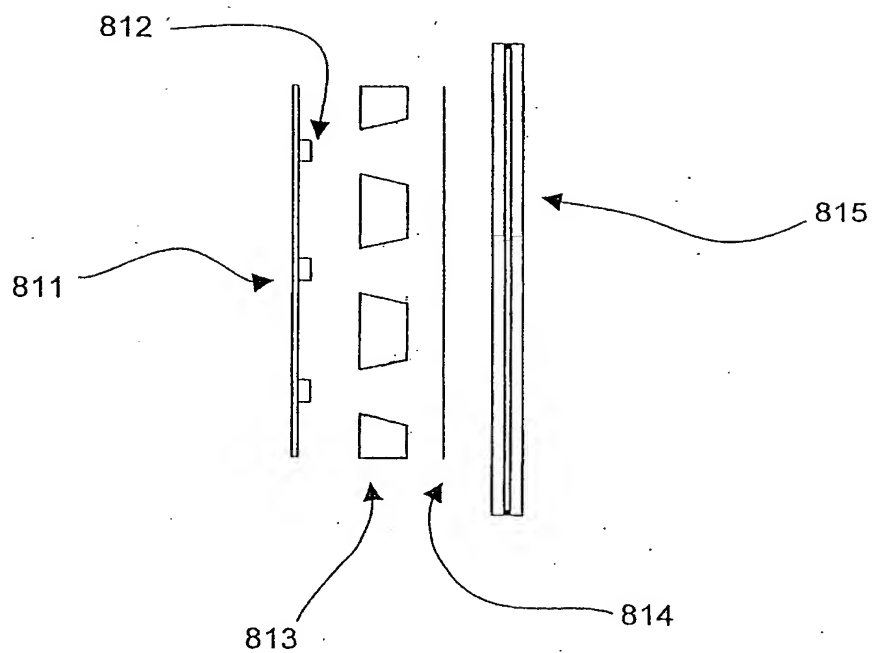


Fig. 25



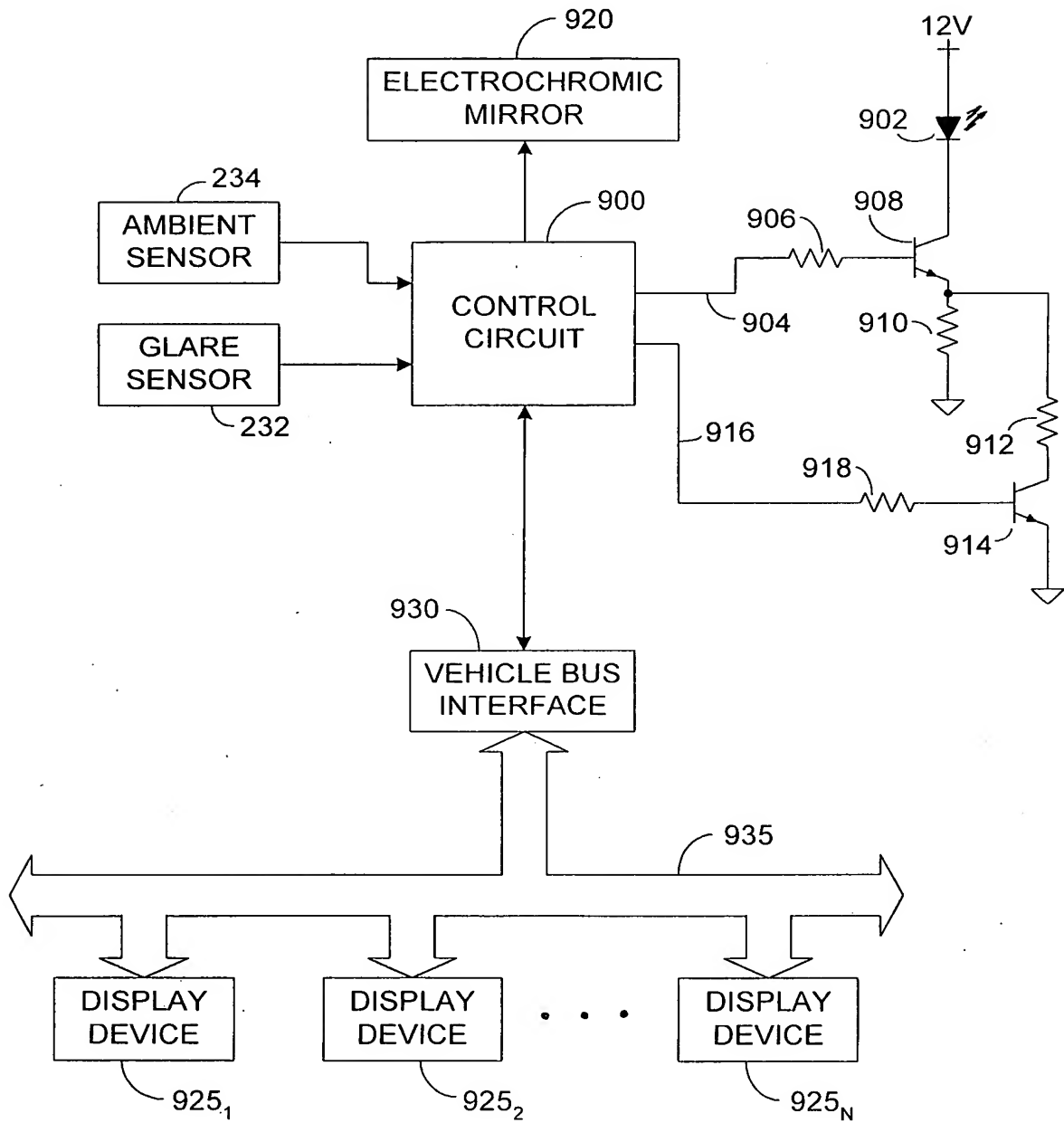


FIG. 26

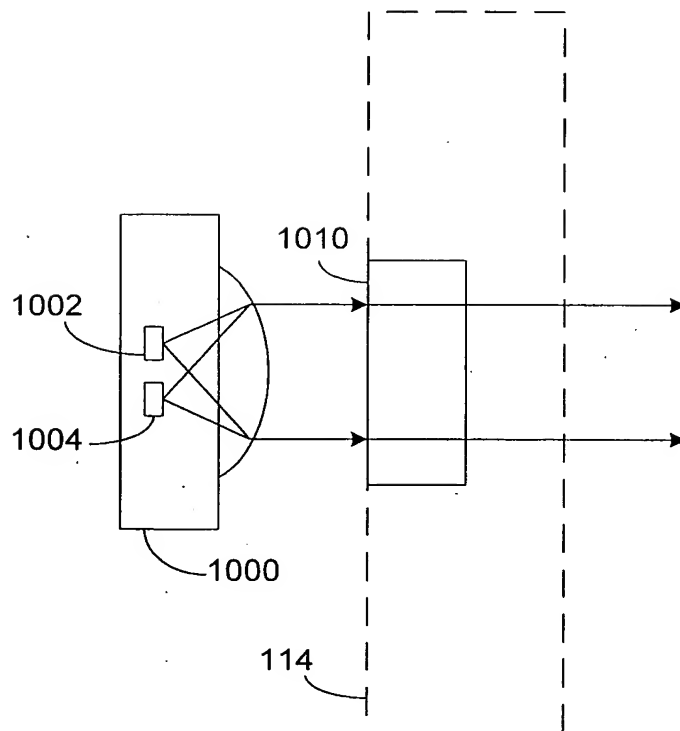


FIG. 27

FIG. 28

